

بهینه‌سازی سازه‌ی خرپا با استفاده از روش نیرو و الگوریتم بهینه‌سازی جایا

علی برزگری (دانشجوی کارشناسی ارشد)

علی علی نیز بازی * (استادیار)

عادل مقصودبور (استادیار)

دانشکده هندسی مکانیک، دانشکده آزاد اسلامی واحد علوم و تحقیقات تهران

در این تحقیق هدف کمینه کردن وزن سازه‌ی خرپا با به کارگیری فرمول بندی روش نیرو و الگوریتم بهینه‌سازی جایا است. قیود مسئله شامل قید تنش، جابه‌جایی و محدودیت سطح مقطع است و متغیرهای طراحی سطح مقطع اعضا در نظر گرفته شده‌اند. الگوریتم جایا یک الگوریتم جستجوی تصادفی است که برخلاف سایر الگوریتم‌های بهینه‌سازی برای تولید جمعیت به پارامترهای تنظیم‌کننده خاصی نیاز ندارد.

بررسی مثال‌های موجود نشان از کارایی روش ارائه شده دارد. نتایج نشان می‌دهد که جواب نهایی به نقاط شروع حساس نیست و فقط باید نقاط شروع به حد کافی بزرگ باشند تا در داخل فضای قابل قبول طراحی قرار گیرند. برخلاف سایر روش‌های تصادفی که عموماً نیاز به تعداد تکرارهای زیاد برای رسیدن به جواب دارند، در روش ارائه شده با تعداد چرخه‌ی به مراتب کمتر این امر حاصل شده است. همچنین نتایج نشان دهنده کاهش سریع وزن در چند چرخه‌ی اولیه است.

barzgariali@gmail.com
ali_alinia@srbiau.ac.ir
a.maghsooudpour@srbiau.ac.ir

واژگان کلیدی: بهینه‌سازی، روش نیرو، سازه‌ی خرپا، الگوریتم جایا.

۱. مقدمه

شناختی و الگوریتم جستجوی هارمونی به تعداد تقویت‌کننده و تنظیم کردن نیز گام نیاز دارند.^[۱]

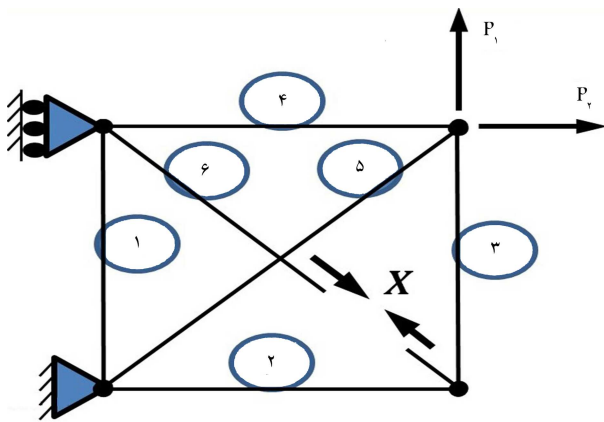
معمولًا برای تحلیل سازه‌ها از روش جایه‌جایی^[۱] استفاده می‌شود که در این روش تغییر مکان گره‌ها به عنوان مجهول در نظر گرفته می‌شود. محققان متعددی از ترکیب روش جایه‌جایی و الگوریتم‌های مختلف بهینه‌سازی در بهینه‌سازی سازه‌ی خرپا استفاده کرده‌اند. مثلاً مثال اشمیت و فرشی^[۲] با استفاده از روش گره‌های محاطی وزن سازه‌ی خرپا را بهینه کردند. لی و جیم^[۳] در تحقیق خود از الگوریتم جستجوی هارمونی استفاده کردند. کلات‌جاری و طالب‌پور^[۴] با اصلاح روش ژنتیک به بهینه‌سازی اندازه و هندسه سازه‌ی خرپا پرداختند. اسیمی و همکارانش^[۵] از برنامه‌نویسی ژنتیک برای بهینه‌سازی اندازه و هندسه سازه برهه برداشتند.

در مقابل برخی محققان از روش نیرو^[۶] برای تحلیل سازه برهه گرفته‌اند. در این زمینه نیز از ترکیب روش نیرو و الگوریتم‌های بهینه‌سازی، تحقیقات زیادی انجام شده است. برای نمونه فرشی و اشمیت^[۷] با استفاده از روش نیرو مسئله‌ی بهینه‌سازی وزن سازه‌ی خرپا تحت چند حالت مختلف بارگذاری و تحت قید تنش را بررسی کردند. صداقتی و سلیمان^[۸] بهینه‌سازی سازه‌ی خرپا و همچنین سازه‌ی قاب را با روش نیرو و تحت قید بسامد بررسی کردند. صداقتی و اسماعیل‌زاده^[۹] الگوریتمی بر اساس برنامه‌نویسی درجه‌دو برای تحلیل سازه‌ی خرپا و تیر با روش نیرو ارائه کردند. کاوه و کلات‌جاری^[۱۰] با روش نیرو و الگوریتم ژنتیک و نظریه‌ی گراف به بهینه‌سازی وزن خرپا پرداختند.

سازه‌ی خرپا دارای مصارف گوناگونی در صنعت است و محققان بسیاری در زمینه‌ی بهینه‌سازی آن و به خصوص بهینه کردن وزن سازه‌ی خرپا فعالیت داشته‌اند. بدليل خصوصیت‌های ساده‌ی این سازه، عموماً انواع روش‌های نوین بهینه‌سازی ارائه شده در ابتدا بر روی این سازه بررسی می‌شود و سپس برای سایر سازه‌ها اعمال می‌شود.

الگوریتم‌های جستجوی تصادفی مرتبه صفر بهینه‌سازی مبتنی بر جمعیت به دو دسته تقسیم می‌شوند: ۱. الگوریتم‌های تکاملی^[۱] ۲. هوش ازدحامی^[۲]. از الگوریتم‌های تکاملی می‌توان به الگوریتم ژنتیک^[۳]، برنامه‌نویسی تکاملی^[۴]، برنامه‌نویسی ژنتیک^[۵]، دیفرانسیل تکاملی^[۶] اشاره کرد. بهینه‌سازی ازدحام ذرات^[۷] و بهینه‌سازی کلونی ذرات^[۸] از جمله الگوریتم‌های مبتنی بر هوش ازدحامی هستند. برخی دیگر از الگوریتم‌ها از طبیعت الهام گرفته‌اند که از جمله‌ی آنها جستجوی هارمونی^[۹] و جستجوی گرانشی^[۱۰] است. هر الگوریتم بهینه‌سازی در طول انجام محاسبات عددی نیاز به تنظیم پارامترهایی دارد تا به بهترین عملکرد برسد. نام الگوریتم‌ها، پارامترهای مشترکی مانند اندازه‌ی جمعیت و تعداد نسل دارند. برخی از الگوریتم‌ها نیاز به پارامترهای تنظیمی اضافه‌تری دارند. مثلاً الگوریتم ژنتیک به پارامترهایی مانند احتمال جهش و احتمال پیوند، الگوریتم بهینه‌سازی ازدحام ذرات به اینرسی وزن، پارامترهای اجتماعی،

* نویسنده مسئول
تاریخ: دریافت ۱۹/۳/۱۳۹۹، اصلاحیه ۱۹/۵/۱۳۹۹، پذیرش ۲/۶/۱۳۹۹.



شکل ۱. مفهوم سازه‌ی برش بافتی در روش نیرو. عضو شماره ۶ به عنوان عضو زائد انتخاب شده است.

نظرگرفته می‌شود. از آنجا که درجه‌ی نامعین استاتیکی این خربما یک است، یکی از عضوها (مثلاً عضو ۶) به عنوان عضو زائد و نیروی آن عضو به عنوان نیروی زائد در نظر گرفته می‌شود. سپس یک برش فرضی در آن ایجاد می‌شود. سازه‌ی خربما تحت بارگذاری تغییر شکل می‌باید و باعث جابه‌جایی نقاط گرهی آن می‌شود و در عضو برش‌خورده یک جابه‌جایی فرضی ایجاد می‌شود. از آنجا که در واقعیت این جابه‌جایی فرضی در نقطه‌ی برش باید صفر باشد، نیروی این عضو زائد به گونه‌ی باید تعیین شود تا این فاصله‌ی ایجاد شده صفر شود. این امر منجر به ایجاد یک رابطه بین نیروهای خارجی اعمالی، سطح مقطع‌های عضوها، جنس ماده و هندسه‌ی سازه می‌شود که به معادلات سازگاری معروف‌اند.^[۲۷]

به طور کلی می‌توان گفت در روش نیرو، نیروهای داخلی عضوها را به عنوان مجھول انتخاب می‌شوند. در یک خربی m عضوی و n درجه آزادی که درجه‌ی نامعین استاتیکی آن R است، نیروی هر عضو را می‌توان به صورت زیر نشان داد:^[۱۷]

$$F_{ik} = \sum_{s=1}^n b_{0_{is}} P_{sk} + \sum_{s=1}^R b_{x_{is}} X_{sk} \quad (1)$$

که در آن F_{ik} نیروی عضو i ام در بارگذاری k ام، $b_{0_{is}}$ ضریب اثر بار خارجی روی عضو i ام، P_{sk} بار خارجی در جهت آزادی s ام در بارگذاری k ام، $b_{x_{is}}$ ضریب اثر نیروی عضو زائد s ام بر روی عضو i ام و X_{sk} نیروی عضو زائد s ام در بارگذاری k ام است. با توجه به تعریف تنش در هر عضو خربما و با استفاده از رابطه‌ی σ تنش به شکل رابطه‌ی ۲ به دست می‌آید:

$$\sigma_{ik} = \frac{\sum_{s=1}^n b_{0_{is}} p_{sk} + \sum_{s=1}^j b_{x_{is}} X_{sk}}{A_i} \quad (2)$$

که A_S سطح مقطع عضو s ام است. در روش نیرو، نیروهای اضلاع زائد توسط رابطه‌ی سازگاری به تغییر شکل اعضا مرتبط می‌شوند:^[۲۷]

$$\sum_{s=1}^m b_{x_{rs}}^T \frac{l_s}{E_s A_s} F_{sk} = 0 \quad (3)$$

که l_s اندازه‌ی طول عضو s ام و E_s ضریب کشسانی عضو s ام است. با جایگذاری رابطه‌ی ۱ در رابطه‌ی ۳، رابطه‌ی سازگاری به شکل زیر می‌شود:

$$\sum_{s=1}^m b_{x_{rs}}^T \frac{l_s}{E_s A_s} \left(\sum_{l=1}^n b_{0_{sl}} p_{lk} + \sum_{l=1}^R b_{x_{sl}} X_{lk} \right) = 0 \quad (4)$$

Rahami و کاوه^[۱۱] با استفاده از روش نیرو و در نظر گرفتن سطح مقطع‌ها و نیروهای اضلاع زائد به عنوان متغیرهای طراحی، با بهره‌گیری از روش نابع جریمه^[۱۲] و با بهکارگیری الگوریتم زنتیک، تحلیل سازه و بهینه کردن وزن سازه را در هر چرخه توان کردند به طوری که بعد از هر چرخه‌ی بهینه‌سازی دیگر نیازی به تحلیل دوباره‌ی سازه نیست. همچنین آنها این روش را برای تحلیل غیرخطی^[۱۲] نیز به کار برdenد و در تحقیقی دیگر با ترکیب روش انرژی و نیرو با الگوریتم زنتیک به بهینه‌سازی شکل سازه پرداختند.^[۱۲] فرشی و علی‌نیازی^[۱۵] با ترکیب روش کوهی محاطی و روش نیرو به بهینه‌سازی خربما با چند حالت بارگذاری تحت قیود مختلف پرداختند.

کاوه و ملکوتی راد^[۱۶] ترکیب الگوریتم زنتیک ترکیبی و روش ازدحام ذرات را برای بهینه‌سازی بر اساس روش نیرو به کار گرفتند. کاوه و ایلچی^[۱۷] با استفاده از جستجوی سیستم شارژی مدیریت شده و ترکیب آن با روش نیرو توانستند اندازه‌ی هندسه و پیکربندی سازه‌ی خربما را بهینه کنند.

کیم و همکاران^[۱۸] در یک روش بهینه‌سازی دومرحله‌ی روش نیرو و الگوریتم زنتیک را برای تعیین مکان‌های خرابی در سازه‌ی خربما به کار برdenد. کاوه و ایلچی^[۱۹] بهینه‌سازی رفتار دینامیکی سازه‌ی خربما را تحت قید بسامد با بهره‌گیری از الگوریتم سیستم ذرات مرتعش بررسی کردند. سین و همکاران^[۲۰] روش نیروی یکپارچه^[۱۴] را با کمک روش برنامه‌ریزی مرتبه دو^[۱۵] و روش اجزای محدود وزن صفحات تقویت شده تحت قید کمانش بهینه کردند.

چن و همکاران^[۲۱] روش تکیبی مبتنی بر جستجوی هارمونی و ازدحام ذرات را برای بهینه کردن وزن سازه‌ی خربما برای متغیرهای ناپیوسته به کار گرفتند. امیدی^[۲۲] و گودرزی‌مهر روش ازدحام ذرات را با الگوریتم زنتیک ترکیب کردند و با در نظر گرفتن متغیرهای گسته سازه‌ی وزن سازه‌ی خربما از روی بهینه کردند.

کائو و همکاران^[۲۳] با بهبود روش ازدحام ذرات، این روش را برای بهینه کردن

شكل و وزن سازه‌ی خربما اعمال کردند. گرزوینسکی و سلچاک^[۲۴] روش جابه‌جایی را با الگوریتم جایا^[۱۶] برای بهینه کردن وزن سازه‌ی خربما ادغام کردند.

الگوریتم جایا از جمله روش‌های تکاملی به حساب می‌رود و در سال ۲۰۱۶ توسط رائو^[۲۵] ارائه شده است و یک الگوریتم جدید به منظور حل مسائل بهینه‌سازی نامقید و مقید است. از مهم‌ترین ویژگی الگوریتم جایا که می‌توان به آن اشاره کرد عدم نیاز به تنظیم کردن پارامتر خاصی برای تولید کردن جمعیت است. دگرگذاشت، لمبرتی^[۲۵] به بهینه‌سازی اندازه‌ی خربما با ترکیب الگوریتم جایا با روش جابه‌جایی پرداختند و در تحقیق دیگر از این محققان^[۲۶] بهینه‌سازی هندسه و اندازه‌ی خربما با اصلاح الگوریتم جایا انجام شده است.

در این مقاله بهینه‌سازی وزن سازه‌ی خربما با استیک تحت قیود تنش، قید جابه‌جایی، قید محدودیت بر سطح مقطع، و قید ارتباط بین سطح مقطع اعضا که می‌تواند تحت یک یا چند حالت مختلف بارگذاری استاتیکی قرار گیرد، بررسی می‌شود. روش نیرو به عنوان ابزار تحلیل و الگوریتم جایا به عنوان ابزار بهینه کردن انتخاب شده‌اند. هدف از این مقاله ترکیب این دو ابزار است تا بتوان از ویژگی‌های خوب هر یک به طور یکجا استفاده کرد.

۲. روش نیرو

در این مقاله از روش نیرو برای تحلیل سازه استفاده شده است. روش نیرو بر اساس کار مجازی استوار است. برای درک بهتر این روش یک خربما مطابق شکل ۱ در

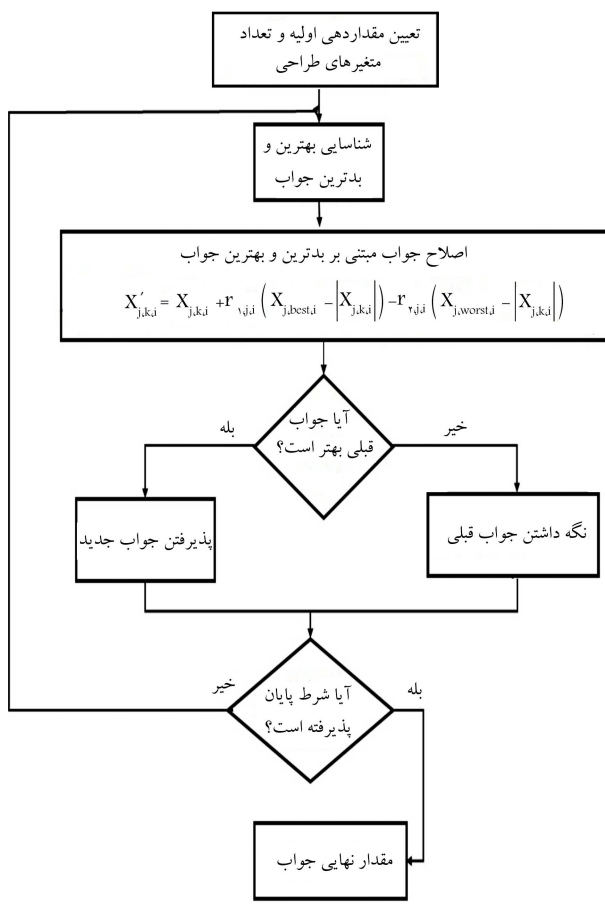
۴. الگوریتم جایا

الگوریتم جایا یک روش بهینه سازی ساده و در عین حال قدرتمند برای حل مسائل مقید و نامقید است.^[۱] این الگوریتم بر این اصل استوار است که برای رسیدن به بهترین جواب باید از جواب های موجود در هر تکرار به سمت بهترین جواب ارائه شده حرکت کرد و از بدترین جواب در همان تکرار نیز دور شد. تولید نقاط جدید در روش جایا با استفاده از رابطه i می باشد:

$$X'_{j,k,i} = X_{j,k,i} + r_{1,j,i}(X_{j,best,i} - |X_{j,k,i}|) - r_{2,j,i}(X_{j,worst,i} - |X_{j,k,i}|) \quad (۹)$$

که $X'_{j,k,i}$ مقدار جدید متغیر طراحی تولید شده از جمعیت شماره k ام، j شماره مؤلفه ای هر نقطه از جمعیت n شماره ی چرخه، $X_{j,k,i}$ مقدار متغیر طراحی در چرخه i ام، $X_{j,Best,i}$ بهترین مقدار متغیر طراحی، $X_{j,worst,i}$ بدترین مقدار متغیر طراحی، $r_{1,j,i}$ و $r_{2,j,i}$ اعداد تصادفی بین صفر و یک هستند. هر یک از اعضای جمعیت در این الگوریتم بر اساس رابطه i ، مقدار خود را به روزرسانی می کنند.

همان گونه که در شکل ۲ نشان داده شده است، الگوریتم جایا عملیات جستجو در فضای طراحی مسئله به صورت موقعيت تصادفی برای بهینه کردن تابع هدف است. روند کار الگوریتم جایا بدین شکل است که تعدادی جمعیت جدید بر اساس رابطه i و با استفاده از جمعیت کنونی ایجاد می شود. مقدار تابع هدف در نقاط



شکل ۲. روند نمای الگوریتم جایا.^[۱]

که k تعداد بارگذاری است. تعداد معادلات سازگاری در هر حالت بارگذاری به درجه i نامعینی سازه بستگی دارد.

مقدار جایابی در روش نیرو به صورت زیر تعریف می شود:^[۲]

$$u_{jk} = \sum_{s=1}^m b_{j,q}^T \frac{l_s}{E_s A_s} F_{sk} \quad (۵)$$

که u_{jk} جایابی درجه آزادی زام در بارگذاری k است.

۳. بهینه سازی سازه های خرپا در فرمول بندی روش نیرو

برای یک سازه خربایی با m عضو و n درجه آزادی، هدف کمینه کردن وزن سازه است که به صورت رابطه i می باشد:

$$\text{Minimize} \rightarrow W(A) = \sum_{i=1}^m \rho_i l_i A_i \quad (۶)$$

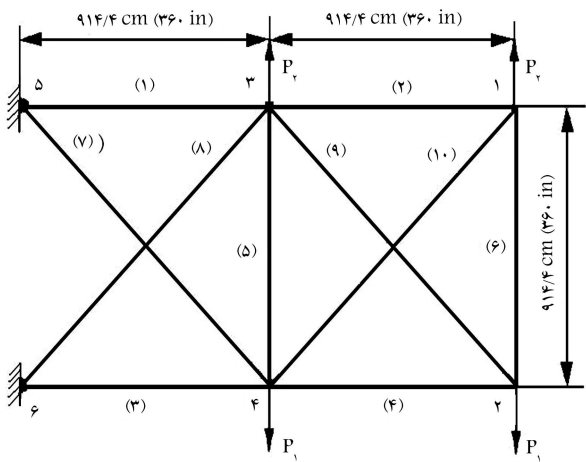
که در آن W کل وزن سازه، ρ_i جرم حجمی، l_i طول عضو و A_i سطح مقطع عضو زام هستند. قیود در نظر گرفته شده عبارت اند از: ۱. قید تنش با در نظر گرفتن حد بالا و پایین ۲. قید جایابی ۳. قید سطح مقطع با محدودیت ۴. قید ارتباط بین سطح مقطع اعضاء، که می توان به صورت رابطه i بیان کرد:

$$\begin{aligned} \sigma_i^L &\leq \sigma_{ik} \leq \sigma_i^U \\ u_j^L &\leq u_{jk} \leq u_j^U \\ A_i^L &\leq A_i \leq A_i^U \\ i &= 1, \dots, m; j = 1, \dots, n; k = 1, \dots, k \end{aligned} \quad (۷)$$

در آن σ_{ik} تنش عضو i ام در بارگذاری k ام، σ_i^L و σ_i^U مقادیر بالایی و پایینی مجاز برای تنش، u_{jk} مقدار جایابی راستای زام در بارگذاری k ام و u_j^L و u_j^U مقدادر بالایی و پایینی مجاز برای جایابی، A_i^L و A_i^U مقادیر حد بالایی و پایینی برای سطح مقطع عضو i ام هستند. با توجه به تعریف قیود بیان شده در روابط ۲، ۴ و ۵ رابطه i را می توان به صورت زیر بیان کرد:

$$\begin{aligned} -\sigma_i^U A_i + \sum_{s=1}^j b_{x,s} X_{sk} &\leq -\sum_{s=1}^n b_{x,s} P_{sk} \\ \sigma_i^L A_i - \sum_{s=1}^j b_{x,s} X_{sk} &\leq \sum_{s=1}^n b_{x,s} P_{sk} \\ u_j^L \leq \sum_{q=1}^m b_{j,q}^T \frac{l_q}{E_q A_q} F_{qk} &\leq u_j^U \\ i &= 1, \dots, m; j = 1, \dots, n; k = 1, \dots, k \end{aligned} \quad (۸)$$

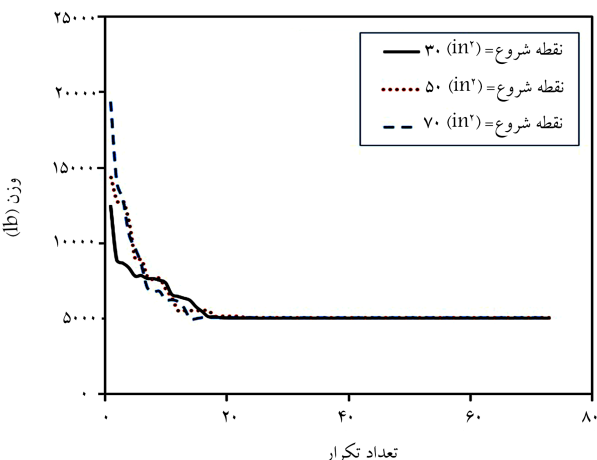
با توجه به قیود در نظر گرفته شده در این تحقیق، ملاحظه می شود که بهینه سازی به صورت غیرخطی است. در بهینه سازی غیرخطی عموماً یک نقطه ای آغازین در نظر گرفته می شود. سپس سازه در این نقطه تحلیل می شود و بعد از آن یک بار چرخه بهینه سازی با الگوریتم در نظر گرفته شده نقطه ای جدیدی به دست می دهد. سپس سازه در این نقطه ای جدید تحلیل می شود و این روند دوباره تکرار می شود تا همگرایی مطلوب حاصل آید. در این تحقیق از روش تابع جریمه استفاده شده است. تابع جریمه در اصل مسئله می قید را به نامقید تبدیل می کند. اساس کار این تابع به این صورت است که در صورت نقض قید، مقداری به عنوان جریمه به تابع هدف اضافه می کند.



شکل ۳. خرپای ۱۰ عضوی.^[۲]

جدول ۱. نتایج خرپای ۱۰ عضوی: حالت اول.

شماره عضو	سطح مقطع اعضاء در نقطه بهینه (in ²)	مرجع [۱۵]	مرجع [۲]	این تحقیق
۱	۷,۹۳۸	۷,۹۳۷۹	۷,۹۳۷۹	۷,۹۳۹
۲	۰,۱	۰,۱۰۰۰	۰,۱۰۰۰	۰,۱۰۰۰
۳	۸,۰۶۲	۸,۰۶۲۱	۸,۰۶۲	۸,۰۶۲
۴	۳,۹۳۸	۳,۹۳۷۹	۳,۹۳۸	۳,۹۳۸
۵	۰,۱	۰,۱۰۰۰	۰,۱۰۰۰	۰,۱۰۰۰
۶	۰,۱	۰,۱۰۰۰	۰,۱۰۰۰	۰,۱۰۰۰
۷	۵,۷۴۴۷	۵,۷۴۴۷	۵,۷۴۵	۵,۷۴۵۸
۸	۵,۵۶۹	۵,۵۶۹۰	۵,۵۶۹	۵,۵۶۷۰
۹	۵,۵۶۹	۵,۵۶۹۰	۵,۵۶۹	۵,۶۹۰
۱۰	۰,۱	۰,۱۰۰۰	۰,۱۰۰۰	۰,۱۰۰۰
وزن (lb)	۱۵۹۳,۲	۱۵۹۳,۲	۱۵۹۳,۲	۱۵۹۳,۲



شکل ۴. نمودار وزن بر حسب تعداد تکرار خرپای ۱۰ عضوی: حالت دوم.

جمعیت جدید محاسبه و با مقادیر تابع هدف در نقاط قبلي مقایسه می‌شود. در صورتی که جواب در هر نقطه بهتر شده باشد مقدار جدید جایگزین نقطه‌ی متناظر در جمعیت می‌شود. اگر مقدار تابع هدف بهتر نشده باشد، همان نقطه‌ی اولیه در جمعیت نگه داشته می‌شود و مقدار جدید پذیرفته نخواهد شد. این عمل در هر چرخه تکرار می‌شود و در هر چرخه جمعیت نقاط طراحی به روزرسانی می‌شود و تا به دست آمدن همگرایی مورد نظر به سمت جواب بهینه ادامه می‌یابد.

۵. مثال عددی

برای نشان دادن کارایی روش ارائه شده چند مثال متداول حل و با کار محققان دیگر مقایسه می‌شود. مثال‌ها عبارت‌اند از خربای ۱۰، ۲۵، ۲۵ و ۲۲۰ عضوی. برای انتخاب نقاط آغازین محدودیت وجود ندارد و کافی است که به اندازه‌ی نسبتاً بزرگ باشند تا نقاط در محدوده فضای قابل قبول طراحی قرار گیرند که با توجه به سازه‌ی خربای این امر به سادگی قابل حصول است. این خصوصیت خود یکی از مزایای روش به حساب می‌آید که نیازی به روش‌های خاص برای انتخاب نقاط آغازین ندارد.

۱.۵. مثال خرپای ۱۰ عضوی

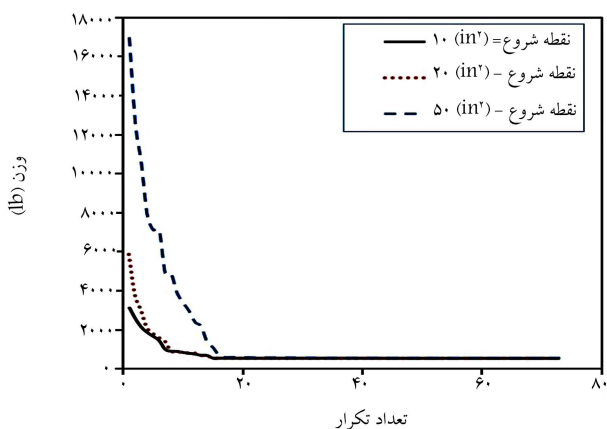
شکل ۳ خرپای ۱۰ عضوی را نشان می‌دهد.^[۲] درجه‌ی نامعین استاتیکی آن ۲ و درجه‌ی آزادی آن برابر ۸ است. مدول الاستیسیته $E = 68947 MPa (10^7 Psi)$ و مقدار حد تنش آن جرم حجمی برابر با $Pci = 2768 Kg.m^3 (0,1 Pci)$ می‌شود. در حالت اول سازه تحت یک بارگذاری ($KpSi$) $P_1 = 444,82 KN$ و تحت $P_2 = 172 MPa (2500 Psi)$ است. این مثال در ۲ حالت بررسی می‌شود. در حالت اول سازه تحت یک بارگذاری ($KpSi$) $P_1 = 444,82 KN$ و تحت $P_2 = 172 MPa (2500 Psi)$ قید تنش بررسی می‌شود. در حالت دوم سازه تحت یک بارگذاری که شامل قید تنش بررسی می‌شود. در حالت دوم سازه تحت قید تنش و جایه‌جایی است، بررسی می‌شود. جایه‌جایی عمودی تمام گره‌ها باید در محدوده $\pm 5,08 cm (2in)$ قرار $\pm 5,08 cm (2in)$ داشته باشد. نتایج به دست آمده در جدول‌های ۱ و ۲ ارائه شده است و نشان از توازن جواب‌های به دست آمده با سایر مراجع دارد. در شکل ۴ نمودار وزن بر حسب تعداد تکرار، برای حالت دوم رسم شده است. سه دسته نقاط آغازین نسبتاً بزرگ انتخاب شده است که همگی به سمت جواب همگرا شده‌اند و کاهش شدید وزن در چند چرخه‌ی اولیه مشهود است.

۲.۵. مثال خرپای ۲۵ عضوی

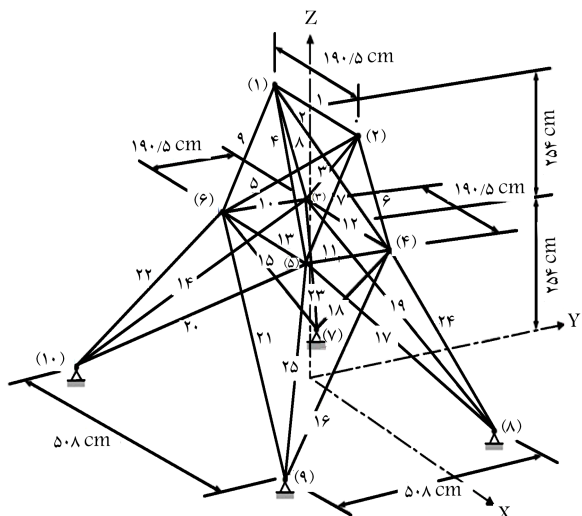
سازه‌ی خرپای فضایی ۲۵ عضوی در شکل ۵ نشان داده شده است.^[۱۵] درجه‌ی نامعین استاتیکی این سازه ۷ و درجه‌ی آزادی آن برابر با ۱۸ است. ضریب الاستیسیته برابر با $Psi = 68947 MPa (10^7 Psi)$ و جرم حجمی آن برابر $E = 68947 MPa (10^7 Psi)$ است. در حالت کلی تحت ۶ بارگذاری مستقل قرار دارد. در صورت استفاده از خاصیت تقارن، بارگذاری به ۲ حالت کاهش می‌باید که در جدول ۳ ارائه شده است. در این حالت سطح مقطع اعضای سازه به یکدیگر مرتبط می‌شوند به طوری که به هشت گروه تقسیم می‌شوند. مقاومت حد کششی تنش تمام اعضاء برابر است با $\sigma_u = 275,8 MPa (40,0^{\circ} Psi)$ و مقاومت حد فشاری اعضاء مطابق با جدول ۴ است. قید سطح مقطع اعضا به صورت $(1 in)^2 / 0,06452 cm^3$ است و جایه‌جایی تمام گره‌ها در تمام جهات باید در محدوده $(0,35 in)^2 \pm 0,089 cm$ باشد. نتایج به دست آمده در

جدول ۲. نتایج خرپای ۱۰ عضوی: حالت دوم (سطح مقطع اعضاء در نقطه بهینه (in^3)).

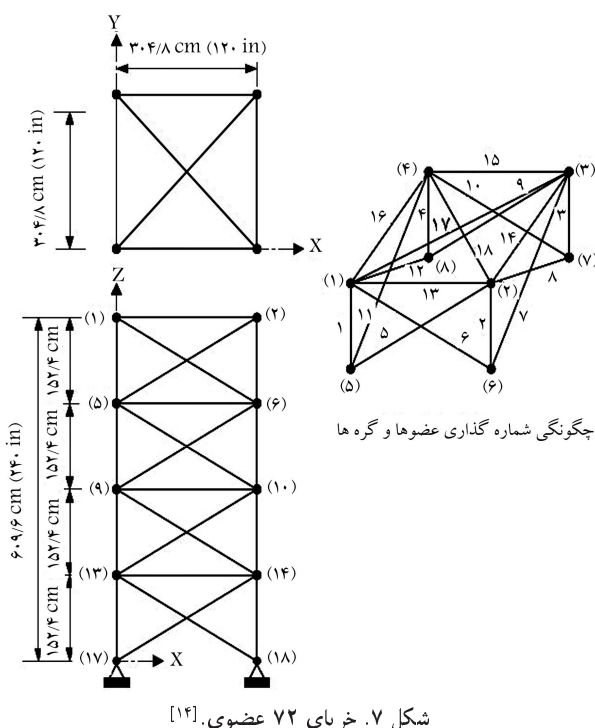
شماره اعضاء	مرجع [۲]	مرجع [۲۸]	مرجع [۲۹]	مرجع [۳۰]	مرجع [۳۱]	مرجع [۲۲]	مرجع [۲۳]	مرجع [۲۵]	مرجع [۲۶]	مرجع [۱۲]	این تحقیق
۱	۲۴/۲۹	۲۵/۱۹	۲۵/۸۱	۲۲/۵۳	۲۴/۷۲	۲۲/۵۹	۲۲/۲۵	۲۲/۵۲۷۰	۰/۱۰۰۰	۰/۱۰۰	۲۲/۲۵
۲	۰/۱۰۰	۰/۱۰۰	۰/۱۰۰	۰/۱۰۰	۰/۱۰۰	۰/۱۰۰	۰/۱۰۰	۰/۱۰۰	۰/۱۰۰	۰/۱۰۰	۰/۱۰۰
۳	۲۳/۳۵	۲۵/۴۲	۲۷/۲۳	۲۵/۴۲	۲۵/۲۹	۲۵/۴۲	۲۵/۲۹	۲۵/۲۹۴۱	۲۵/۲۹۴۱	۲۵/۲۹۴۱	۲۵/۵۴
۴	۱۳/۶۶	۱۴/۳۳	۱۴/۳۷	۱۴/۳۷	۱۴/۲۲	۱۴/۳۷	۱۴/۲۲	۱۴/۳۷۶۰	۱۴/۳۷۶۰	۱۴/۳۷۶۰	۱۴/۳۷
۵	۰/۱۰۰	۰/۱۰۰	۰/۱۰۰	۰/۱۰۰	۰/۱۰۸	۰/۱۰۰	۰/۱۰۰	۰/۱۰۰	۰/۱۰۰	۰/۱۰۰	۰/۱۰۰
۶	۱/۹۶۹	۱/۹۶۹	۱/۹۶۹	۱/۹۷۰	۱/۹۷۰	۱/۹۷۰	۱/۹۷۰	۱/۹۷۷	۱/۹۷۷	۱/۹۷۷	۱/۹۶
۷	۱۲/۶۷	۱۲/۰۸	۱۲/۷۸	۱۲/۳۹	۱۲/۶	۱۲/۳۹	۱۲/۳۹	۱۲/۴۰۴۱	۱۲/۴۰۴۱	۱۲/۴۰۴۱	۱۲/۳۹
۸	۱۲/۵۴	۱۴/۶۱	۱۲/۸۰	۱۲/۸۰	۱۲/۷۸	۱۲/۸۳	۱۲/۸۳	۱۲/۸۲۴۵	۱۲/۸۲۴۵	۱۲/۸۲۴۵	۱۲/۵۶
۹	۲۱/۹۷	۲۰/۲۶	۲۰/۲۶	۲۰/۳۷	۱۸/۴۴	۲۰/۳۳	۲۰/۲۶	۲۰/۳۳۰۴	۲۰/۳۳۰۴	۲۰/۳۳۰۴	۲۰/۳۷
۱۰	۰/۱۰۰	۰/۱۰۰	۰/۱۰۰	۰/۱۰۰	۰/۱۰۰	۰/۱۰۰	۰/۱۰۰	۰/۱۰۰	۰/۱۰۰	۰/۱۰۰	۰/۱۰۰
وزن (lb)	۴۶۹۱/۸۴	۴۸۹۵/۶۰	۴۸۹۵/۷	۴۷۹۶/۹۲	۴۷۹۶/۹۳	۴۶۹۶/۸۱	۴۶۹۷/۸	۲۳/۵۲۷۰	۲۳/۵۲۷۰	۲۳/۵۲۷۰	۲۳/۲۵



شکل ۶. نمودار وزن بر حسب تعداد تکرار در خرپای ۲۵ عضوی.



شکل ۵. خرپای ۲۵ عضوی.



شکل ۷. خرپای ۷۲ عضوی.

جدول ۳. بارگذاری خرپای ۲۵ عضوی.

بارگذاری اول (lb)			بارگذاری دوم (lb)			شماره گره		
P_Z	P_Y	P_X	P_Z	P_Y	P_X			
-50000	20000	0	-50000	10000	10000	1		
-50000	-20000	0	-50000	10000	0	2		
0	0	0	0	0	5000	3		
0	0	0	0	0	5000	4		

جدول ۴ ارائه و با نتایج سایر محققان مقایسه شده است. نمودار روند کاهش وزن بر حسب تعداد تکرار چرخه‌ی طراحی، برای ۳ نقطه‌ی آغازین مختلف در شکل ۶ ارائه شده است که همگی به سمت جواب بهینه همگرا شده‌اند.

۳.۵. مثال خرپای ۷۲ عضوی

در شکل ۷ خرپای ۷۲ عضوی نشان داده شده است.^[۲] درجه‌ی نامعین استاتیکی این مثال ۲۴ و درجه آزادی آن ۴۸ است. ماده‌ی به کار گرفته شده آلومینیوم با

جدول ۴. نتایج خرپای ۲۵ عضوی (سطح مقطع اعضاء در نقطه‌ی بهینه (in^3)).

شماره گروه	شماره اعضاء	حد فشاری تنش	مرجع	این تحقیق
		[۳]	[۱۶]	[۲]
۱	A_1	-۳۵,۰۹۲	۰,۰ ۱۰۰	۰,۰ ۱۰۰
۲	$A_2 : A_5$	-۱۱,۰۹۰	۱,۹۸۷۰	۱,۹۹۸۱
۳	$A_6 : A_9$	-۱۷,۳۵۰	۲,۹۹۳۵	۲,۹۸۲۸
۴	$A_{10} : A_{11}$	-۳۵,۰۹۲	۰,۰ ۱۰۰	۰,۰ ۱۰۰
۵	$A_{12} : A_{13}$	-۳۵,۰۹۲	۰,۰ ۱۰۰	۰,۰ ۱۰۰
۶	$A_{14} : A_{17}$	-۶۷,۰۵۹	۰,۶۸۴۰	۰,۶۸۳۷
۷	$A_{18} : A_{21}$	-۶۷,۰۵۹	۱,۶۷۶۹	۱,۶۷۵۰
۸	$A_{22} : A_{25}$	-۱۱,۰۸۲	۲,۶۶۲۱	۲,۶۶۶۸
وزن (lb)				
۵۴۵,۱۶				
۵۴۵,۱۶				
۵۴۵,۳۷				
۵۴۵,۲۲				

بهینه‌سازی با ۳ نقطه‌ی آغازین مختلف را نشان می‌دهد که کاهش شدید وزن در چند چرخه‌ی اولیه و همگرازی به سمت جواب بهینه در همه حالت‌ها مشهود است.

۴.۵. مثال خرپای ۲۰۰ عضوی

شکل ۹ خرپای ۲۰۰ عضوی را نشان می‌دهد [۲۳] که دارای درجه‌ی نامعین استاتیکی $E = ۲۰۶۸۴۲ MPa$ (۳) و درجه‌ی آزادی ۱۵۰ است. ضریب الاستیسیته برابر $\times ۰,۲۸۳ Pci$ است. کترین $۱۰^7 Psi$ و جرم حجمی آن $= ۷۸۳۳ Kg.m^3$ ($۰,۲۸۳ Pci$) ($۰,۲۸۳ cm^3$) ($۰,۱ in^3$) است. مقاومت حد تنش آن برابر است با $\sigma = \pm ۶۸,۹۵ MPa$ ($۱ \times ۱۰^7 Psi$). با توجه به مقایسه در هندسه و بارگذاری، با استفاده از قید ارتباط بین سطح مقطع‌ها به ۲۹ گروه سطح مقطع تقلیل می‌یابد.

بارگذاری اعمالی برای سازه شامل پنج حالت مستقل است. باید توجه داشت که با استفاده از قید ارتباط بین سطح مقطع‌ها بارگذاری به سه حالت کاهش می‌یابد. این پنج حالت بارگذاری عبارت‌اند از:

۱. نیروی برابر با ($10 Kpsi$) ($4450 N$) در جهت x برگرهای ۱، ۱۵، ۶، ۲۰، ۲۹ اعمال می‌شود؛

۲. نیروی برابر با ($10 Kpsi$) ($4450 N$) در جهت مثبت گره‌های ۵، ۱۴، ۱۹، ۲۸ اعمال می‌شود؛

۳. نیروی برابر با ($10 Kpsi$) ($4450 N$) در جهت منفی y برگرهای ۱، ۲، ۳، ۴ اعمال می‌شود؛

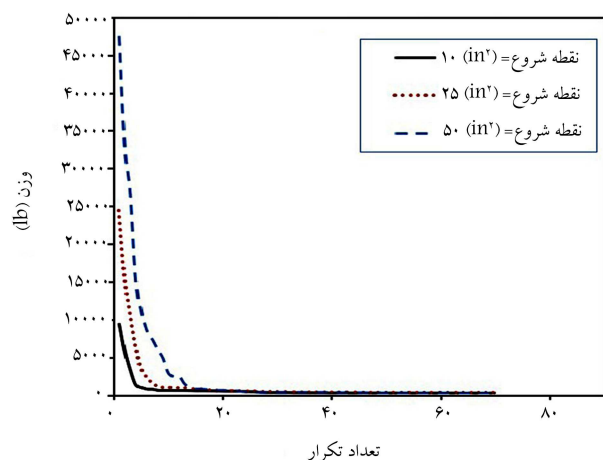
۴. بارگذاری ۱ و ۳ هم‌زمان وارد می‌شود؛

۵. بارگذاری ۲ و ۳ هم‌زمان وارد می‌شود.

نتایج به دست آمده برای این مثال در جدول ۷ ارائه شده است و با نتایج سایر محققان مقایسه شده است. شکل ۱۰ نمودار تغییرات وزن برحسب تعداد چرخه‌ی بهینه‌سازی در ازای ۳ نقطه‌ی شروع متفاوت را نشان می‌دهد که همگی به سمت جواب بهینه همگرا شده‌اند.

جدول ۵. بارگذاری خرپای ۷۲ عضوی [۲].

شماره گره	بارگذاری اول (lb)			بارگذاری دوم (lb)		
	P_Z	P_Y	P_X	P_Z	P_Y	P_X
۱	-۵۰۰۰	۰	۰	-۵۰۰۰	۵۰۰۰	۵۰۰۰
۲	-۵۰۰۰	۰	۰	۰	۰	۰
۳	-۵۰۰۰	۰	۰	۰	۰	۰
۴	-۵۰۰۰	۰	۰	۰	۰	۰

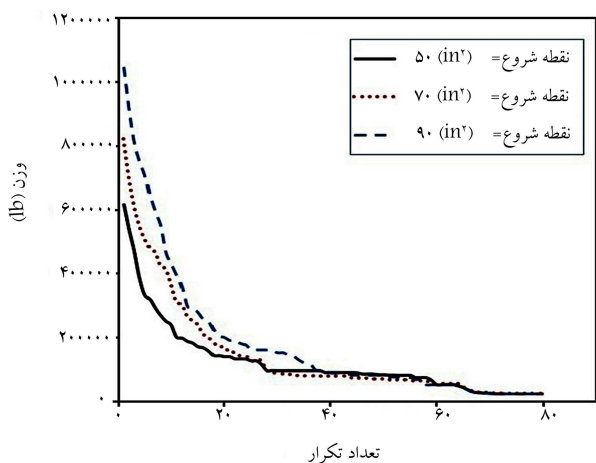


شکل ۸. نمودار وزن برحسب تعداد تکرار در خرپای ۷۲ عضوی.

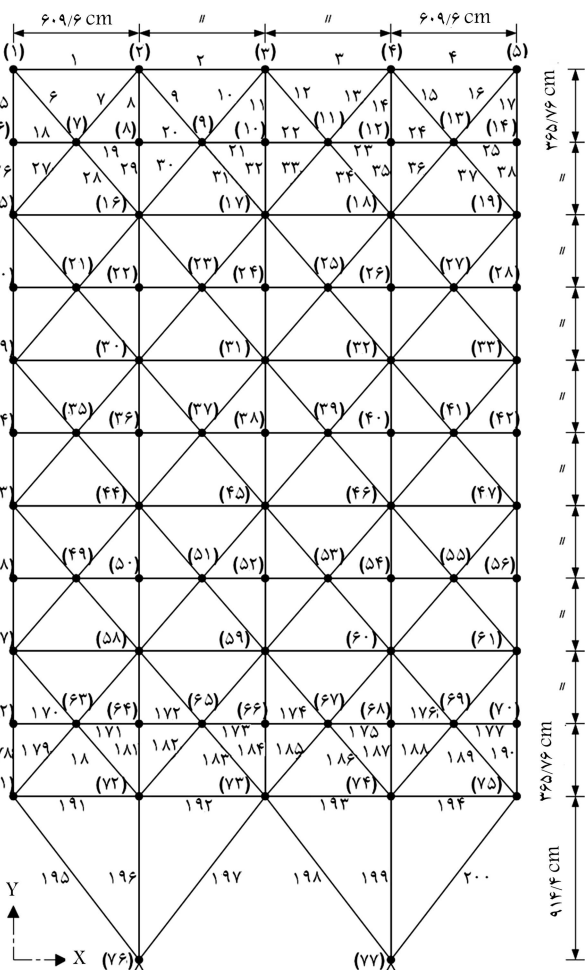
ضریب الاستیسیته ($10^7 Psi$) ($4450 N$) در تمام گره‌ها در تمام جهات به صورت ($۰,۱ in^3$) ($۶۴۵۲ cm^3$) است و جایه‌جایی تمام گره‌ها در تمام جهات باشد. این سازه در حالت کلی تحت $\pm ۱۷۲,۴ MPa$ ($۰,۲۵ in^3$) ($۶۳۵ cm^3$) باشد. این سازه در حالت کلی تحت $\pm ۲۷۶۸ Kg.m^3$ ($۰,۱ Pci$) ($۰,۲۵ in^3$) ($۲۵ \times ۱۰^7 Psi$) است. قید اندازه روی سطح مقطع اعضا باشد. این سازه در حالت کلی تحت $\pm ۶۸,۹۵ MPa$ ($۰,۱ in^3$) ($۶۴۵۱ cm^3$) است. در نظر گرفته می‌شود. نتایج به دست آمده در جدول ۶ ارائه شده است و با نتایج سایر محققان مقایسه شده است. شکل ۸ نمودار تغییرات وزن برحسب تعداد چرخه‌ی بهینه‌سازی

جدول ۶. نتایج خرپای ۷۲ عضوی (سطح مقطع اعضاء در نقطه بهینه (in^*)).

شماره گروه	اعضاء	مرجع [۲]	مرجع [۲۵]	مرجع [۲۱]	مرجع [۲۲]	مرجع [۱۴]	این تحقیق
۱	$A_1 : A_2$	۰/۱۵۸	۰/۱۶۱	۰/۱۵۶۴	۰/۱۶۱	۰/۱۵۶۵	۰/۱۵۶
۲	$A_5 : A_{12}$	۰/۵۹۴	۰/۵۵۷	۰/۵۴۴	۰/۵۴۵۷	۰/۵۴۴	۰/۵۴۴
۳	$A_{13} : A_{16}$	۰/۳۴۱	۰/۳۷۷	۰/۴۱۱۰	۰/۳۷۹	۰/۴۱۰۶	۰/۴۵۴
۴	$A_{17} : A_{18}$	۰/۶۰۸	۰/۶۱۱	۰/۵۰۶	۰/۵۲۱	۰/۵۶۹۷	۰/۵۶۹۵
۵	$A_{19} : A_{22}$	۰/۲۶۴	۰/۶۱۱	۰/۵۲۶۳	۰/۵۷۱۲	۰/۵۲۳۷	۰/۵۲۴
۶	$A_{23} : A_{26}$	۰/۵۴۸	۰/۵۳۲	۰/۵۱۷۸	۰/۵۲۵	۰/۵۱۶	۰/۵۱۶
۷	$A_{21} : A_{24}$	۰/۱۰۰	۰/۱۰۰	۰/۱۰۰	۰/۱۰۰	۰/۱۰۰	۰/۱۰۰
۸	$A_{25} : A_{26}$	۰/۱۵۱	۰/۱۰۰	۰/۱۰۰	۰/۱۱۱	۰/۱۰۰	۰/۱۰۰
۹	$A_{27} : A_{28}$	۱/۱۰۷	۱/۲۴۶	۱/۲۷۰۲	۱/۳۱۰	۱/۲۶۸۵	۱/۲۷۰
۱۰	$A_{21} : A_{28}$	۰/۵۷۹	۰/۵۲۴	۰/۵۱۲۴	۰/۴۹۸	۰/۵۱۱۸	۰/۵۱۲
۱۱	$A_{29} : A_{52}$	۰/۱۰۰	۰/۱۰۰	۰/۱۰۰	۰/۱۱۰	۰/۱۰۰	۰/۱۰۰
۱۲	$A_{53} : A_{54}$	۰/۱۰۰	۰/۱۰۰	۰/۱۰۰	۰/۱۰۳	۰/۱۰۰	۰/۱۰۰
۱۳	$A_{55} : A_{58}$	۱/۸۱۸	۱/۰۷۸	۱/۸۶۵۶	۱/۹۱۰	۱/۸۸۶۴	۱/۸۹۰
۱۴	$A_{59} : A_{60}$	۰/۵۰۳	۰/۵۲۴	۰/۵۱۳۱	۰/۵۲۵	۰/۵۱۲۲	۰/۵۲۶
۱۵	$A_{67} : A_{70}$	۰/۱۰۰	۰/۱۰۰	۰/۱۰۰	۰/۱۲۲	۰/۱۰۰	۰/۱۰۰
۱۶	$A_{71} : A_{72}$	۰/۱۰۰	۰/۱۰۰	۰/۱۰۰	۰/۱۰۳	۰/۱۰۰	۰/۱۰۰
وزن (lb)	۳۷۹/۷	۳۷۹,۶۵۳۶	۳۸۲,۱۲	۳۷۹,۶۲	۳۸۱,۲	۳۸۸,۶۳	



شکل ۱۰. نمودار وزن بر حسب تعداد تکرار در خرپای ۲۰۰ عضوی.



شکل ۹. خرپای ۲۰۰ عضوی.^[۲۳]

۶. نتیجه‌گیری

در این تحقیق یک روش برای یافتن کمترین مقدار وزن سازه‌ی خرپا تحت قیود تنش، جایه‌جایی و محدودیت اندازه‌ی سطح مقطع که تحت چند حالت بارگذاری استاتیکی مختلف قرار دارد، ارائه شد. این امر با بهره‌گیری از روش نیرو به عنوان ابزار تحلیل سازه و ترکیب آن با الگوریتم جایا به عنوان ابزار بهینه‌سازی به دست آمد. چهار مثال متدابول برجسته در این زمینه بررسی شد و نتایج حاصل از این روش با آنچه توسط روش‌های دیگر ارائه شده است، مقایسه شد. در تمام مثال‌ها توافق کامل مشهود است که نشان از کارایی روش ارائه شده دارد.

در روش پیشنهادی نیازی به نقطه‌ی اولیه که دارای شرایط خاصی باشد نیست و فقط کافی است که سطح مقطع اولیه اعضا به حد کافی بزرگ انتخاب شوند که در محدوده‌ی قابل قبول قرار گیرند. نتایج به دست آمده برای نقاط اولیه مختلف نیز

جدول ۷. نتایج خرپای ۲۰۰ عضوی.

شماره سیاه گروه	اعضاء گروه	قید تنش ($\sigma_0 = \pm 68,95 MPa (10000 Psi)$)			
		سطح مقطع اعضاء در نقطه بهینه (in^2)	مرجع [۱۴]	مرجع [۲۳]	مرجع [۳]
۱	۱, ۲, ۳, ۴	۰, ۱۴۶۴	۰, ۱۴۷۰	۰, ۱۴۶۷	۰, ۱۲۵۳
۲	۵, ۸, ۱۱, ۱۴, ۱۷	۰, ۹۴۰۲	۰, ۹۴۵۰	۰, ۹۴۰۰	۱, ۰ ۱۵۷
۳	۱۹, ۲۰, ۲۱, ۲۲, ۲۳, ۲۴	۰, ۱۰۶۵	۰, ۱۰۰۰	۰, ۱۰۰۰	۰, ۱۰۶۹
۴	۱۸, ۲۵, ۵۶, ۶۳, ۹۴, ۱۰۱, ۱۳۲, ۱۳۹, ۱۷۰, ۱۷۷	۰, ۱۰۰۰	۰, ۱۰۰۰	۰, ۱۰۰۰	۰, ۱۰۶۹
۵	۲۶, ۲۹, ۳۲, ۳۵, ۳۸	۱, ۹۴۲۲	۱, ۹۴۵۱	۱, ۹۴۰۰	۱, ۹۳۶۹
۶	۶, ۷, ۹, ۱۰, ۱۲, ۱۳, ۱۵, ۱۶, ۲۷, ۲۸, ۳۰, ۳۱, ۳۳, ۳۴, ۳۶, ۳۷	۰, ۲۹۶۳	۰, ۲۹۶۹	۰, ۲۹۶۲	۰, ۲۶۸۶
۷	۳۹, ۴۰, ۴۱, ۴۲	۰, ۱۰۰۰	۰, ۱۰۰۰	۰, ۱۰۰۰	۰, ۱۰۲۴
۸	۴۳, ۴۶, ۴۹, ۵۲, ۵۵	۳, ۱۰۵۴	۳, ۱۰۶۲	۳, ۱۰۴۰	۲, ۹۷۳۱
۹	۵۷, ۵۸, ۵۹, ۶۰, ۶۱, ۶۲	۰, ۱۰۰۰	۰, ۱۰۰۰	۰, ۱۰۰۰	۰, ۱۳۰۹
۱۰	۶۴, ۶۷, ۷۰, ۷۳, ۷۶	۴, ۱۰۵۵	۴, ۱۰۵۲	۴, ۱۰۴۰	۴, ۱۸۳۱
۱۱	۴۴, ۴۵, ۴۷, ۴۸, ۵۰, ۵۱, ۵۳, ۵۴, ۶۵, ۶۶, ۶۸, ۶۹, ۷۱, ۷۲, ۷۴, ۷۵	۰, ۴۰۴۰	۰, ۴۰۳۹	۰, ۴۰۳۴	۰, ۳۹۶۷
۱۲	۷۷, ۷۸, ۷۹, ۸۰	۰, ۱۹۲۹	۰, ۱۹۳۴	۰, ۱۹۲۲	۰, ۴۴۱۶
۱۳	۸۱, ۸۴, ۸۷, ۹۰, ۹۳	۵, ۴۵۵	۵, ۴۲۸۹	۵, ۴۲۸۲	۵, ۱۸۷۳
۱۴	۴۰, ۴۶, ۴۷, ۴۸, ۴۹, ۵۰, ۱۰۰	۰, ۱۰۰۰	۰, ۱۰۰۰	۰, ۱۰۰۰	۰, ۱۹۱۲
۱۵	۱۰۲, ۱۰۵, ۱۰۸, ۱۱۱, ۱۱۴	۶, ۴۲۸۹	۶, ۴۲۸۹	۶, ۴۲۸۲	۶, ۲۴۱
۱۶	۸۲, ۸۳, ۸۵, ۸۶, ۸۸, ۸۹, ۹۱, ۹۲, ۱۰۳, ۱۰۴, ۱۰۶, ۱۰۷, ۱۰۹, ۱۱۰, ۱۱۲, ۱۱۳	۰, ۵۷۵۳	۰, ۵۷۴۵	۰, ۵۷۸۳	۰, ۶۹۹۴
۱۷	۱۱۰, ۱۱۶, ۱۱۷, ۱۱۸	۰, ۱۳۳۵	۰, ۱۲۳۹	۰, ۱۳۲۵	۰, ۱۱۵۸
۱۸	۱۱۹, ۱۲۲, ۱۲۵, ۱۲۸, ۱۳۱	۷, ۹۹۰۱	۷, ۹۷۳۷	۷, ۷۹۲۶	۷, ۷۸۴۳
۱۹	۱, ۲, ۳, ۴	۰, ۱۰۰۰	۰, ۱۰۰۰	۰, ۱۰۰۰	۰, ۱
۲۰	۵, ۸, ۱۱, ۱۴, ۱۷	۸, ۹۷۲۲	۸, ۹۷۳۷	۸, ۹۷۲۶	۸, ۸۲۷۹
۲۱	۱۹, ۲۰, ۲۱, ۲۲, ۲۳, ۲۴	۰, ۷۰۵۰	۰, ۷۰۵۳	۰, ۷۰۴۸	۰, ۶۹۸۶
۲۲	۱۸, ۲۵, ۵۶, ۶۳, ۹۴, ۱۰۱, ۱۳۲, ۱۳۹, ۱۷۰, ۱۷۷	۰, ۴۲۱۰	۰, ۴۲۱۵	۰, ۴۲۰۲	۱, ۵۵۶۳
۲۳	۲۶, ۲۹, ۳۲, ۳۵, ۳۸	۱۰, ۸۶۷۱	۱۰, ۸۶۷۵	۱۰, ۸۶۶۶	۱۰, ۹۸۰۶
۲۴	۶, ۷, ۹, ۱۰, ۱۲, ۱۳, ۱۵, ۱۶, ۲۷, ۲۸, ۳۰, ۳۱, ۳۳, ۳۴, ۳۶, ۳۷	۰, ۱۰۰۰	۰, ۱۰۰۰	۰, ۱۰۰۰	۰, ۱۳۱۷
۲۵	۳۹, ۴۰, ۴۱, ۴۲	۱۱, ۸۶۶۲	۱۱, ۸۶۷۴	۱۱, ۸۶۶۶	۱۲, ۱۴۹۲
۲۶	۴۳, ۴۶, ۴۹, ۵۲, ۵۵	۱, ۰ ۳۴۷	۱, ۰ ۳۴۹	۱, ۰ ۳۴۴	۱, ۶۳۷۳
۲۷	۵۷, ۵۸, ۵۹, ۶۰, ۶۱, ۶۲	۶, ۶۸۴۲	۶, ۶۸۴۹	۶, ۶۸۳۸	۵, ۰ ۰۳۲
۲۸	۶۴, ۶۷, ۷۰, ۷۳, ۷۶	۱۰, ۸۲۰۱	۱۰, ۸۱۰۱	۱۰, ۸۰۸۳	۹, ۳۵۴۵
۲۹	۴۴, ۴۵, ۴۷, ۴۸, ۵۰, ۵۱, ۵۳, ۵۴, ۶۵, ۶۶, ۶۸, ۶۹, ۷۱, ۷۲, ۷۴, ۷۵	۱۳, ۹۵۶۹	۱۳, ۸۳۷۹	۱۳, ۸۳۲۹	۱۵, ۰ ۹۱
وزن (lb)					

انتخاب بهترین طرح از میان چند طرح مختلف سازه حائز اهمیت است. از آنجایی که الگوریتم جایا یک روش تصادفی است انتظار می‌رفت که مانند دیگر روش‌ها، نیاز به تعداد تکرار زیاد برای رسیدن به جواب باشد، که در ترکیب با روش جایه‌جایی نیاز به تعداد تکرار زیاد دیده شده است.^[۲۱] اما همان‌طور که از نتایج نمودارهای به دست آمده به خوبی مشهود است از ترکیب الگوریتم جایا و روش نیرو برای رسیدن به جواب بهینه به تعداد تکرار به مراتب کمتری نیاز است که این نشان‌دهنده نیز بهره جست. این کاهش سریع در مقدار وزن از لحاظ طراحی و

نشان‌دهنده این موضوع است که روش این تحقیق به انتخاب نقطه‌ای اولیه برای آغاز بهینه‌سازی حساس نیست که نکته‌ی مهمی در روش‌های بهینه‌سازی محسوب می‌شود. نمودارهای کاهش وزن نشان‌دهنده این موضوع هستند که در چند تکرار اولیه مقدار وزن سازه به میزان زیادی کاهش می‌یابد و همچنین بعد از چند چرخه‌ی آغازین کاملاً به نزدیکی‌های جواب بهینه می‌رسند و قیود فعل در نقطه‌ای بهینه مشخص می‌شوند که حتی می‌توان برای چرخه‌های انتهایی از دیگر روش‌های موجود بهینه‌سازی نیز بهره جست. این کاهش سریع در مقدار وزن از لحاظ طراحی و

پابنوه‌ها

1. evolutionary algorithm
2. swarm intelligence
3. genetic algorithm
4. evolution programming
5. genetic programming
6. differential evolution
7. particle swarm optimization
8. ant colony optimization
9. harmony search
10. gravitational search
11. displacement method
12. force method
13. penalty function
14. integrated force method
15. sequential quadratic method
16. jaya algorithm
17. population

منابع (References)

1. Rao, R.V. "Jaya: a simple and new optimization algorithm for solving constrained and unconstrained optimization problems", *International Journal of Industrial Engineering Computations*, **7**(1), pp. 19-34 (2016).
2. Schmit, L.A. and Farshi, B. "Some approximation concepts for structural synthesis", *AIAA Journal*, **12**(5), pp. 692-699 (1974).
3. Lee, K.S. and Geem, Z.W. "A new structural optimization method based on the harmony search algorithm", *Computers and Structures*, **82**(9-10), pp. 781-798 (2004).
4. Kalatjari, V.R. and Talebpour, M. "Sizing and topology optimization of truss structures by modified multi-search method", *Civil Engineering Infrastructures Journal*, **45**(3), pp. 351-363 (In Persian) (2011).
5. Assimi, H., Jamali, A. and Nariman-zadeh, N. "Sizing and topology optimization of truss structures using genetic programming", *Swarm and Evolutionary Computation*, **37**, pp. 90-103 (2017).
6. Farshi, B. and Schmit, A "Minimum weight design of stress limited trusses", *Journal of the Structural Division*, **100**(1), pp. 97-107 (1974).
7. Sedaghati, R., Suleman, A. and Tabarrok, B. "Structural optimization with frequency constraints using the finite element force method", *AIAA Journal*, **40**(2), pp. 382-388 (2002).
8. Sedaghati, R. and Esmailzadeh, E. "Optimum design of structures with stress and displacement constraints using the force method", *International Journal of Mechanical Sciences*, **45**(8), pp. 1369-1389 (2003).
9. Kaveh, A. and Kalatjari, V. "Topology optimization of trusses using genetic algorithm, force method and graph theory", *International Journal for Numerical Methods in Engineering*, **58**(5), pp. 771-791 (2003).
10. Kaveh, A. and Kalatjari, V. "Size/geometry optimization of trusses by the force method and genetic algorithm", *ZAMM Zeitschrift fur Angewandte Mathematik und Mechanik*, **84**(5), pp. 347-357 (2004).
11. Kaveh, A. and Rahami, H. "Analysis, design and optimization of structures using force method and genetic algorithm", *International Journal for Numerical Methods in Engineering*, **65**(10), pp. 1570-1584 (2006).
12. Kaveh, A. and Rahami, H. "Nonlinear analysis and optimal design of structures via force method and genetic algorithm", *Computers and Structures*, **84**(12), pp. 770-778 (2006).
13. Rahami, H., Kaveh, A. and Gholipour, Y. "Sizing, geometry and topology optimization of trusses via force method and genetic algorithm", *Engineering Structures*, **30**(9), pp. 2360-2369 (2008).
14. Farshi, B. and Alinia-Ziazi, A. "Sizing optimization of truss structures by method of centers and force formulation", *International Journal of Solids and Structures*, **47**(18-19), pp. 2508-2524 (2010).
15. Farshi, B. and Alinia-Ziazi, A. "Combination of force formulation and method of centers for minimum weight design of truss structures", *Sharif Journal*, **27-3**(2), pp. 75-65 (In Persian) (2010).
16. Kaveh, A. and Malakouti rad, S. "Hybrid genetic algorithm and particle swarm optimization for the force method-based simultaneous analysis and design", *Iranian Journal of Science & Technology, Transaction B: Engineering*, **34**, pp. 15-34 (2010).
17. Kaveh, A. and Ahmadi, B. "Sizing, geometry and topology optimization of trusses using force method and supervised charged system search", *Structural Engineering and Mechanics*, **50**, pp. 365-382 (2014).
18. Kim, N., Kim, Y.W., Lee, J. and et al. "Two-stage optimization based on force method for damage identification of planar and space trusses", *International Journal of Steel Structures*, **18**, pp. 1-12 (2018).
19. Kaveh, A. and Ilchi Ghazaan, M. "Vibrating particles system algorithm for truss optimization with multiple natural frequency constraints" *Acta Mech*, **228**, pp. 307-322 (2017).
20. Singh, A., Yang, F. and Sedaghati, R. "Design optimization of stiffened panels using finite element integrated force method" *Engineering Structures*, **159**, pp. 99-109 (2018).
21. Cheng, M., Prayogo, D., Wu, Y. and et al. "A Hybrid harmony search algorithm for discrete sizing optimization of truss structure", *Automation in Construction*, **69**, pp. 21-33 (2016).
22. Omidinasab, F. and Goodarzimehr, V. "Hybrid particle swarm optimization and genetic algorithm for truss structures with discrete variables" *Journal of Applied and Computational Mechanics*, **6**(3), pp. 593-604 (2020).
23. Cao, H., Qian, X., Zhijun Chen, Z. and et al. "Enhanced particle swarm optimization for size and shape optimization of truss structures", *Engineering Optimization*, **49**(11), pp. 1939-1956 (2017).
24. Grzywiński, M. and Selejda, J. "Weight minimization of spatial trusses with genetic algorithm", *Quality Production Improvement*, **1** (1), pp. 238-243 (2019).
25. Degertekin, S.O., Lamberti, L. and Ugur, I.B. "Sizing, layout and topology design optimization of truss structures using the jaya algorithm", *Applied Soft Computing Journal*, **70**, pp. 903-928 (2018).

26. Degertekin, S.O., Lamberti, L. and Ugur, I.B. "Discrete sizing/layout/topology optimization of truss structures with an advanced Jaya algorithm", *Applied Soft Computing Journal*, **79**, pp. 363-390 (2019).
27. Przemieniecki, J.S., *Theory of Matrix Structural Analysis*, Dover (2012).
28. Venkayya, V.B. "Design of optimum structures", *computer and structures*, **1**, pp. 265-309 (1970).
29. Dobbs, M.W. and Nelson, R.B. "Application of optimality criteria to automated structural design", *AIAA Journal*, **14**(10), pp. 1436-1443 (1976).
30. Rizzi, P. in "Optimization of multi-constrained structures based on optimality criteria", *17th Structures, Structural Dynamics, and Materials Conference*, Department of Aeronautics and Astronautics, Stanford University Stanford, California pp.448-462 (1976).
31. Khan, M.R., Willmer, K.D. and Thornton, W.A. "An optimality criterion method for large-scale structures", *AIAA Journal*, **17**(7), pp. 753-761 (1979).
32. John, K.V., Ramak, C.V. and K.G.S. "Minimum weight design of trusses", *Applied Mathematical Modelling*, **7**(5), pp. 374-376 (1983).
33. Lamberti, L. "An efficient simulated annealing algorithm for design optimization of truss structures", *Computers and Structures*, **86**(19-20), pp. 1936-1953 (2008).